# 风力致热型海水淡化装置及参数设计

金 浩1,胡以怀1,唐娟娟2,冯是全1,谭亲明1

(1.上海海事大学 商船学院,上海 201306; 2.上海船舶研究设计院,上海 201203)

摘 要:风力致热海水淡化是将风能直接转换成热能,再蒸发海水制取淡水的技术。文章论述了风力致热型海水淡化装置的结构和工作原理,介绍了S型垂直轴风力机、搅拌液体致热装置和海水蒸发室的特性。通过力矩的匹配计算,建立搅拌器直径的相关数学模型,并依据最优匹配数学模型计算搅拌液体致热装置的参数。根据搅拌液体致热装置的尺寸设计出海水蒸发室,并通过理论计算预估其在额定风速下的产水量约为 239.1g/h,表明了风力致热海水淡化技术的可行性。

关键词:风力致热;海水淡化;风能;热能;S型垂直轴风力机;数学模型中图分类号:TK89;TH122 文献标志码:A 文章编号:1671-5292(2017)05-0747-06 DOI:10.13941/j.cnki.21-1469/tk.2017.05.018

# 0 前言

风力发电海水淡化技术是将风能转换为电能、再利用电能驱动淡化装置制取淡水的技术。该模式的能量转换环节多,风能利用率低,风力致热转换效率约为 40%[1]+3]。由于风力机对切入风速和切出风速都有严格要求,因此,对风速要求较高。从投资成本的角度考虑,风力发电机组的投资比例占整个风电系统的 75%左右,导致风力发电海水淡化的投资成本很高[4]。

我国是人均水资源最贫乏的国家之一,人均淡水资源占有量仅为世界平均水平的 1/4,且水资源分布不均<sup>[5],[6]</sup>。目前,我国 617 个城市中,有300 个城市缺水,其中 110 个城市严重缺水<sup>[7]</sup>。我国 18 个沿海开放城市中有 14 个城市缺水,其中严重缺水城市有 9 个,淡水短缺问题已经成为制约这些地区经济发展的瓶颈<sup>[8]</sup>。我国风能资源十分丰富,可开发利用的风能资源约为 10 亿 kW<sup>[3]</sup>。将风能直接转换成热能进行海水淡化是解决淡水需求的途径。

# 1 风力致热海水淡化装置的结构与工作原理

风力致热海水淡化装置主要由 S 型垂直轴 风力机、搅拌液体致热装置、海水蒸发室和支架 等组成(图 1)。S 型垂直轴风力机通过支架固定 于搅拌液体致热装置的上方,海水蒸发室通过支 架固定于搅拌液体致热装置的侧面。S型垂直轴风力机捕捉风能并将风能转化为机械能,再通过搅拌液体致热装置的作用把机械能转化为热能。将热能传递到具有一定真空度的海水蒸发室,在海水蒸发室内蒸发海水,最终通过热能制取淡水。风力致热海水淡化装置制取淡水的流程:"风能—机械能—热能—制取淡水",其中传热介质为水。

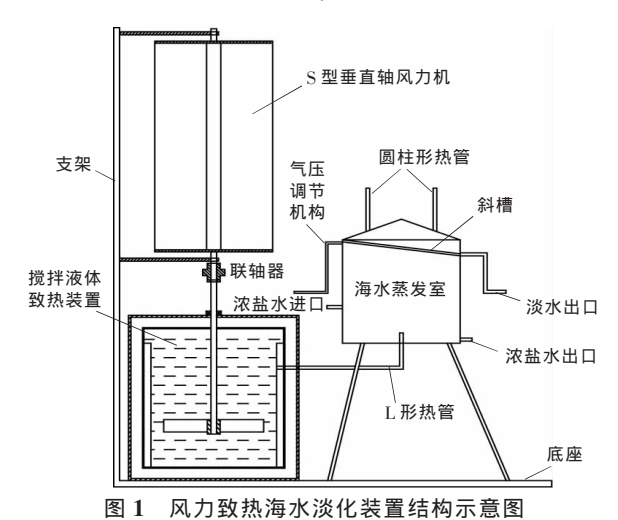


Fig.1 Structural schematic of wind–powered seawater desalination

风吹动 S 型垂直轴风力机转动,通过联轴器带动搅拌轴及搅拌器叶片在搅拌桶内旋转。在桶内阻尼板的作用下,水在桶内发生紊流流动,使水

收稿日期: 2016-03-29。

基金项目:上海市科委资助项目(08210511800);上海海事大学研究生创新基金项目(Gk2013044);上海海事大学研究生学术新人培育资助项目(YXR2015126)。

通讯作者: 胡以怀(1964-),博士后,教授,博士生导师,研究方向为船舶动力装置与新能源利用技术。E-mail;yhhu@shmtu.edu.cn

与水、水与桶壁、水与叶片的摩擦产生热量。L形 热管将热量传入蒸发室蒸发海水,从而得到所需 的淡水。风力致热海水淡化原理如图 2 所示。

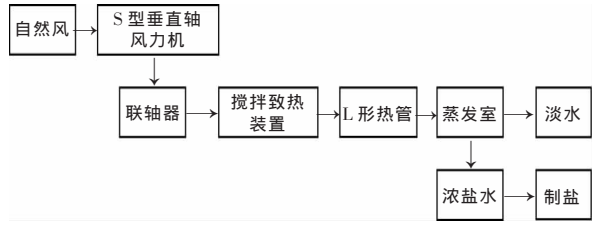


图 2 风力致热海水淡化原理

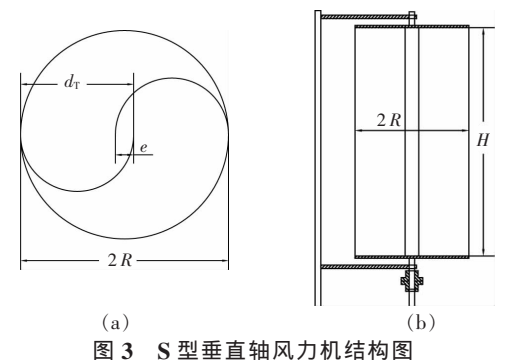
Fig.2 Working principle of wind–powered seawater desalination

搅拌液体致热装置对风速要求较低,应用场合比风力发电广。风力致热海水淡化装置体积小、结构简单、投资成本低、机动性强。该装置只利用自然界的风能,可以在断电、断油时使用,可作为抢险救灾设备,解决海岛、海上作业平台和沿海城市淡水资源短缺的问题。

# 2 S型垂直轴风力机

# 2.1 S型垂直轴风力机特性

S 型垂直轴风力机叶轮的两个半圆柱面叶片对称安装在转轴两侧,柱面朝向相反,两个半圆柱面叶片部分交错。如图 3 所示,半圆柱面叶片直径为  $d_{\rm T}$ ,交错距离为  $e_{\rm o}$  当风吹向叶轮时,阻力差使叶轮旋转,凹面部分气流会通过交错的空隙进入凸面背后,转折的气流能抵消部分凸面的阻力,可提高风力机的效率。空隙交错距离  $e_{\rm o}$  与叶片直径  $d_{\rm T}$  之比( $\frac{e_{\rm o}}{d_{\rm T}}$ )为 0.17 时效果最好,此时风能利用系数为 0.3,对应的叶尖速比  $\lambda_{\rm E}$  为 0.9 回来空隙  $e_{\rm o}$  中有转轴,转轴尽量要细,并要适当增大空隙。



国 3 S 至垂直和 入りがに行る国 Fig.3 Structure of S type vertical—axis wind turbine

风力机产生的机械能与风速和风力机结构参数有关,其功率  $P_{T}$  为

$$P_{\mathrm{T}} = \frac{1}{2} C_{\mathrm{p}} \rho_{\mathrm{A}} A V^{3} \tag{1}$$

式中: $C_p$  为风能利用系数; $\rho_A$  为空气密度, $kg/m^3$ ;A 为风力机扫风面积, $m^2$ ;V 为风速,m/s。

S型风力机扫风面积 A:

$$A = 2HR \tag{2}$$

式中:H 为风轮高度,m;R 为风轮的旋转半径,m。 S 型垂直轴风力机的转矩  $T_T$ :

$$T_{\rm T} = \frac{P_{\rm T}}{\omega_{\rm T}} = \frac{C_{\rm p} \rho_{\rm A} A V^3}{2\omega_{\rm T}} \tag{3}$$

式中: $\omega_{\text{T}}$ 为风力机的角速度,rad/s。

风力机的叶尖速比  $\lambda$ :

$$\lambda = \frac{\omega_{\text{T}}R}{V} \tag{4}$$

与传统的水平轴风力机相比,垂直轴风力机应用于风力致热具有以下优点:①垂直轴风力机的类型比较多,使用范围广,可以根据具体需要选型;②运行噪声低,适于安装在人的居住地;③外形美观,可与建筑相容,;④结构比较简单,容易和结构简单的致热器相匹配;⑤变速装置和致热器可放在地面;⑥无需对风装置,可利用任何风向的风能,环境适应性强,可适应各种恶劣环境;⑦启动风速要求不严格,叶片寿命长;⑧设计方法先进,具有广阔的市场应用前景。

# 2.2 设计参数

一个高度为  $1.08 \, \text{m}$ ,风轮半径为  $0.25 \, \text{m}$  的风力机的设计参数见表  $1_{\circ}$ 

表 1 风力机设计参数

Table 1 Design parameters of wind tuebine

O I	
	数据
	1.225
风能最大利用系数 $C_{\scriptscriptstyle \mathrm{pmx}}$	0.3
$C_{\scriptscriptstyle \mathrm{pmax}}$ 对应的叶尖速比 $\lambda_{\scriptscriptstyle \mathrm{E}}$	0.9
额定风速 V / m·s <sup>-1</sup>	12
风轮高度 H/m	1.08
风轮的旋转直径 $R$ /m	0.25
叶片重叠比 $rac{e}{d_{ ext{ iny T}}}$	0.17
风力机扫风面积 $A / m^2$	0.54
风力机的功率 $P/W$	170

#### 3 搅拌液体致热装置

#### 3.1 搅拌液体致热装置特点

搅拌液体致热装置主要由搅拌桶、搅拌轴、搅 拌器及阻尼板组成(图 4)。搅拌桶为双层结构,搅 拌轴与风力机的中心轴通过联轴器连接,搅拌轴 带动搅拌器转动。在搅拌桶的内壁贴附有 4 块阻尼板。当风力带动风力机转动时,搅拌轴带动搅拌器转动搅水,水与搅拌器叶片、阻尼板和搅拌桶内壁摩擦、撞击,产生热量,水温逐渐升高。

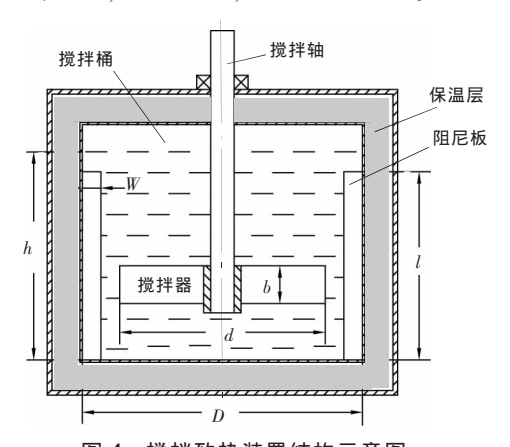


图 4 搅拌致热装置结构示意图

Fig.4 Structural schematic of liquid-stirring heater

搅拌液体致热装置的特点:① 风力机输出轴直接带动搅拌器,任何转速下搅拌器都能吸收输入的全部能量,并将其转换成热能;② 搅拌器与风力机的工作特性能合理匹配; ③风力机系统可不必另设超速保护装置;④致热器结构简单、容易制造、成本低、可靠性高,对结构材料、工作液体和风速变化无特殊要求; ⑤在一定范围内可实现自动热循环;⑥搅拌器易产生"空穴"而引起对构件的侵蚀。

# 3.2 搅拌液体致热装置参数

#### 3.2.1 搅拌器直径的确定

当搅拌液体致热装置运行稳定时,致热功率等于搅拌液体的吸收功率  $P_1^{[10]}$ :

$$P_{\rm L} = N_{\rm p} \rho_{\rm L} n^3 d^5 \tag{5}$$

$$N_{\rm P} = f(Re) \tag{6}$$

式中: $N_P$  为搅拌功率准数, $N_P$  是搅拌设备最基本的特性参数之一; $\rho_L$  为搅拌液体的密度, $kg/m^3$ ; n 为搅拌器转速,r/s; d 为搅拌器的直径,m; Re 为搅拌雷诺数。

搅拌器的转速:

$$n = \frac{\omega_{G}}{2\pi} \tag{7}$$

搅拌器的转矩:

$$T_{\rm G} = \frac{P_{\rm L}}{\omega_{\rm G}} = \frac{N_{\rm p} \rho_{\rm L} n^3 d^5}{\omega_{\rm G}} \tag{8}$$

式中: $\omega_c$  为搅拌器的角速度,rad/s。

S型垂直轴风力机与搅拌液体致热装置之间

的传动是靠联轴器连接的,传动比为 1,传动效率 为  $\eta$ ,则风力机与致热装置关系如下:

$$\omega_{\mathrm{T}} = \omega_{\mathrm{G}}$$
 (9)

$$T_{\rm G} = \eta T_{\rm T} \tag{10}$$

$$\frac{\eta C_{\rm p} \rho_{\rm A} A V^3}{2\omega_{\rm T}} = \frac{N_{\rm p} \rho_{\rm L} n^3 d^5}{\omega_{\rm G}}$$
 (11)

根据式(11)可为给定的风力机设计相匹配的 致热器。

搅拌器直径可确定为

$$d = \left(\frac{\eta C_{\rm p} \rho_{\rm A} N^3}{2N_{\rm p} \rho_{\rm I} n^3}\right)^{0.2} \tag{12}$$

将式(4)带入式(12)得:

$$d = \left(\frac{4\pi^3 \eta C_p \rho_A A R^3}{N_p \rho_L \lambda^3}\right)^{0.2} \tag{13}$$

在搅拌容器内,常常以搅拌器的叶端速度  $\Lambda$  作为定性速度( $\Lambda$ =nd),所以搅拌雷诺数定义为

$$Re = \frac{d\Lambda \rho_{\rm L}}{\mu} = \frac{\rho_{\rm L} n d^2}{\mu} \tag{14}$$

式中: $\mu$  为搅拌液体黏度, $kg/(m \cdot s)$ 。

搅拌雷诺数不仅决定搅拌容器内液体流动的流态,而且对搅拌器特性起决定性作用。容器内液体流动的流态按搅拌雷诺数划分: Re < 10为层流;  $Re > 10^4$ 为湍流;  $10 \le Re \le 10^4$ 为过渡流[10]。功率准数和搅拌雷诺数的直接关系见式 $(15)^{[11]}$ .

$$N_{\rm P} = BRe^z \tag{15}$$

式中:B 和z 的值与搅拌雷诺数的大小有关。

搅拌液体为水时,在较低转速下可获得> $10^4$  的搅拌雷诺数。对于在额定风速下运转的 S 型垂直轴风力机,搅拌液体致热器中搅拌的液体均满足  $Re>10^4$  的条件。当  $Re>10^4$  时,对  $3\sim6$  个叶片的搅拌器,常数 B=5,且 z=0,此时液体吸收功率满足下式[10],[11].

$$\frac{P_{\rm L}}{\rho_{\rm I} n^3 d^5} = 5 \tag{16}$$

在这种情况下,负荷转矩由式(17)表示:

$$T_{\rm G} = \frac{5\rho_{\rm I} d^5}{8\pi^3} \omega_{\rm G}^2 \tag{17}$$

因此,搅拌器的最佳直径 d 计算公式为

$$d = \left(\frac{0.8\pi^3 \eta \rho_{\Lambda} A C_{\rm p}^{\text{max}} R^3}{\rho_{\rm L} \lambda_{\rm E}^3}\right)^{0.2} \tag{18}$$

当风力机参数  $\eta$ =0.99, $\rho$ L=1 000 kg/m³ 时,搅拌器的直径 d 约为 0.16 m<sub>o</sub>

• 749 •

3.2.2 搅拌液体致热装置其它参数的确定 搅拌液体致热装置其它参数确定如下[12],[13]。

①搅拌桶内径 D

对于开启涡轮式平直叶片, $\frac{d}{D}$ 的取值满足  $0.2 \leqslant \frac{d}{D} \leqslant 0.5$ ,可取 d=0.4 D 作为设计值。

②搅拌器叶片宽度 b

 $\frac{b}{d}$ 的取值满足  $0.15 \leqslant \frac{b}{d} \leqslant 0.3$ ,可取 b=0.25 d 作为设计值。

③阻尼板宽度 W

全阻尼板条件下, $W=(\frac{1}{12}\sim\frac{1}{10})D$ ,可取 W=0.1D 作为设计值。

④液面高度 h

 $\frac{h}{d}$ 的取值满足  $1.11 \le \frac{h}{d} \le 1.38$ ,即  $1.11 d \le h \le 1.38 d$ 。

⑤阻尼板长度 l

阻尼板长度对致热效果的影响很小,一般取  $l=1.2~h_{max}$ 

⑥各部件的具体尺寸

将风力机参数带入式(5)~(18)进行计算,得到搅拌器的直径 d=0.16 m;搅拌叶片宽度 b=0.04 m;搅拌桶内径 D=0.40 m;阻尼板宽度 W=0.04 m;阻尼板长度 l=0.265 m;搅拌器叶片为 4 片,阻尼板为 4 片。

### 4 海水蒸发室

如图 1 可见,海水蒸发室为顶端带锥形罩的桶状结构。海水蒸发室与搅拌液体致热装置通过 5 根 30 W 的 L 形热管连接,并通过玻璃胶密封固定,将搅拌液体致热装置产生的热能传到海水蒸发室。海水蒸发室锥形罩的下方,沿圆柱形桶的内壁设有斜槽,斜槽的最高点处连接着由单向阀和抽真空管构成的气压调节机构,斜槽的最低点与淡水出水管道连接。海水蒸发室的底部有海水进水管及浓盐水出水管。锥形罩的内壁装设有两根57 W 的圆柱形热管,热管能够加快水蒸气的凝结过程。海水通过进水管道进入蒸发室,在热能作用下海水温度升高,并在负压条件下蒸发。水蒸气在锥形罩上凝结成水珠,并沿着锥形罩流入斜槽内,由淡水出水管流出。

搅拌桶内径为  $0.4\,\mathrm{m}$ 。由于考虑有漏热损失的存在,致热装置产生的热量不会毫无损失地传递到蒸发室,因此,初步确定蒸发桶内径为  $0.3\,\mathrm{m}$ ,蒸发室桶高为  $0.2\,\mathrm{m}$ ,锥形罩展开扇形半径为  $0.15\,\mathrm{m}$ 。L 形热管插入蒸发室  $0.05\,\mathrm{m}$ ,其中海水液位  $0.1\,\mathrm{m}$ 。

将锥形罩与空气的换热简化成空气外掠平板模型。由风力机的设计参数可知,外界空气设计流速为 12 m/s 时,雷诺数  $Re = \frac{u_{\infty}x_{c}}{v} = 1.2 \times 10^{5}$ 。其中: $u_{\infty}$  为无穷远处外界空气的流速; $x_{c}$  为锥形罩展开的扇形半径;v 为 20 ℃时空气的动力粘度, $v = 1.506 \times 10^{-5}$  m²/s。

由空气外掠平板模型得,在整个锥形罩上的 努塞尔数 Nu=0.664 $Re^{1/2}$ , $Pr^{1/3}$ =204.5 $^{[14]}$ 。锥形罩与外界空气的对流换热系数  $h=\frac{Nu_l}{x_c}$ =35.31 W/( $\mathbf{m}^2\cdot\mathbf{K}$ )。碳钢的导热系数  $\lambda$  为 49.8 W/( $\mathbf{m}\cdot\mathbf{K}$ ),锥形罩壁 厚为 0.002 m,锥形罩的热阻  $R=\frac{\delta}{\lambda}$ = 4.02×10<sup>-5</sup> ( $\mathbf{m}^2\cdot\mathbf{K}$ )/W。因为锥形罩的热阻远小于对流热阻,可忽略不计,所以锥形罩与外界空气的换热系数 K=h=35.371 W/( $\mathbf{m}^2\cdot\mathbf{K}$ )。若不考虑蒸发室的漏热损失,设外界空气温度为 20 °C,锥形罩内壁凝结水温度为 60 °C,则蒸发室的冷凝功率  $\varphi$ =99.84 W。

风力机功额定率为 170 W, 在锥形罩外侧加装两只 57 W 的热管,此时冷凝功率为 213.84 W,这样可保证冷凝功率大于加热功率,加快了海水的蒸发速度。海水在常压下的汽化潜热为 2 258 kJ/kg,若不考虑整个系统的漏热损失,由能量守恒可知,当系统在额定风速下运行时,蒸发室锥形罩散出的能量应等于海水凝结放出的汽化潜热。设风力机输入功率为 170 W,则海水蒸发室吸收功率可达 150 W,则蒸发室的出水率为 239.1 g/h。若风力机的额定功率设计为 2 kW,则相应的出水率可达 2.812 kg/h;若海水蒸发室结合一定的真空负压技术和热量回收技术,则出水量还可以得到相应的提高。

# 5 结论

本文阐述了一种风力致热海水淡化装置的结构、工作原理和主要部件的特性,通过建立数学模型,为垂直轴风力机搅拌液体致热海水淡化装置的设计提供了理论依据。

在风力致热海水淡化装置设计过程中,首先

根据所需要的淡水量确定风力机尺寸,然后根据 搅拌液体致热装置的数学模型确定其尺寸,再根 据低温多效海水淡化经验,参照搅拌液体致热装 置的尺寸确定海水蒸发室的大小。

通过理论计算预估该装置在 12 m/s 风速下的产水量约为 239.1 g/h。若风力机的额定功率设计为2 kW,则相应的出水率可达 2.812 kg/h;若海水蒸发室适当应用真空负压技术和热量回收技术,则出水量还可得到相应提高。

本文设计的风力致热海水淡化装置可连接不同的换热器,应用于不同场合,可用于制取热水、房间取暖等,进一步扩大风能利用领域。

#### 参考文献:

- [1] 李超,李利平.风电海水淡化研究与应用[J].电力勘测设计,2014(2):72-75.
- [1] Li Chao, Li Liping. Research and application of wind power seawater desalination [J]. Electric Power Survey & Design, 2014(2):72–75.
- [2] 王世明,刘银.海岛开发淡化海水系统研究综述[J].工程研究,2013,5(1):100-114.
- [2] Wang Shiming, Liu Yin. A review of desalination system for island development[J]. Journal of Engineering Studies, 2013,5(1):100-114.
- [3] 胡以怀.新能源与船舶节能技术[M].北京:科学出版 社,2015.80-107.
- [3] Hu Yihuai. New Energy and Ship Energy Saving Technology [M]. Beijing: Science Press, 2015.80–107.
- [4] 王正明,路正南.风电项目投资及其运行的经济性分析[J].可再生能源,2008,26(6):21-24.
- [4] Wang Zhengming, Lu Zhengnan. The economic analysis on the investment and operation of the wind power project [J]. Renewable Energy Resources, 2008, 26 (6): 21–24.
- [5] 祁泉淞.我国水资源现状及其水资源管理中的问题和 对策[J].中国水运,2008,8(2);180-181.
- [5] Qi Quansong.Present situation of water resources and the problems and countermeasures in water resources management in China[J].China Water Transport, 2008, 8

- (2):180-181.
- [6] 阮国岭.海水淡化工程设计[M].北京:中国电力出版 社,2013.4-5.
- [6] Ruan Guoling. Design of Seawater Desalination Project[M].Beijing: China Electric Power Press, 2013.4–5.
- [7] 郝晓地,李会海.海水淡化+风能发电+盐业化工—— 三位一体的清洁生产技术[J].节能与环保,2006(10): 25-28.
- [7] Hao Xiaodi, Li Huihai. Desalination + wind electricity + salt production -a proposal for a trinity technology of cleaner production [J]. Energy Conservation and Environmental Protection, 2006 (10): 25-28.
- [8] 李勤.对我国城市缺水问题的建议[J].资源开发与保护,1991(1):12.
- [8] Li Qin.Suggestions on urban water shortage in China[J]. Resources Development and Protection, 1991(1):12.
- [9] J L Menet.Adouble –step savonius rotor for local production of electricity; a design study [J].Renewable Energy, 2004, 29(11):1843–1862.
- [10] Hemrajani R R, Tatterson G B. Handbook of Industrial Mixing: Science and Practice [M]. New Jersey: Handbook of Industrial Mixing, 2004; 313, 345–384.
- [11] Chakirov R, Vagapov Y. Direct conversion of wind energy into heat using joule machine [A].2011 International Conference on Environmental and Computer Science[C]. Singapore: ACSIT Press, 2011.
- [12] 王凯,虞军.搅拌设备[M].北京:化学工业出版社,2003.
- [12] Wang Kai, Yu Jun.Mixing Equipment [M].Beijing: Chemical Industry Press, 2003. 26–35.
- [13] 刘洋,胡以怀.搅拌式风力致热装置的参数设计[J].太阳能学报,2014,35(10):1977-1980.
- [13] Liu Yang, Hu Yihuai. Parameter design of stirring wind heating device [J]. Acta Energiae Solaris Sinica, 2014, 35 (10):1977-1980.
- [14] 杨世铭,陶文铨.传热学[M].北京:高等教育出版社, 2006.212.
- [14] Yang Shiming, Tao Wenquan. Heat Transfer [M]. Beijing: Higher Education Press, 2006.212.

# Structure design and parameters calculation of wind-powered seawater desalination device

Jin Hao<sup>1</sup>, Hu Yihuai<sup>1</sup>, Tang Juanjuan<sup>2</sup>, Feng Shiquan<sup>1</sup>, Tan Qinming<sup>1</sup> (1.Merchant Marine College, Shanghai Maritime University, Shanghai 201306, China; 2.Shanghai Ship Design and Research Institute, Shanghai 201203, China)

Abstract: Wind-powered seawater desalination is a way to firstly convert wind energy into thermal energy, and then use thermal energy to evaporate seawater for fresh water generation. A kind of wind-powered seawater desalination device is introduced in this paper about its structure and working principle. The characteristics of S type vertical axis wind turbine, liquid-stirring heater and seawater evaporation chamber are described. Mathematical calculation of agitator diameter and other parameters of the liquid-stirring heater are carried out according to the driving torque of wind turbine. Evaporating chamber capacity for seawater is determined according to the size of liquid-stirring heater and the generated fresh water from the seawater desalination device under rated wind speed is estimated at 239.1 g/h, which verify the feasibility of this kind of wind-powered seawater desalination device.

**Key words:** wind-powered heater; seawater desalination; wind energy; thermal energy; S type vertical axis wind turbine; mathematical modeling